

Problemi percettivi

C'è una differenza significativa fra quello che guardiamo e quello che percepiamo

- L'immagine è individuata a meno di contrasto
- Problemi di segmentazione e di completamento

Leggi della Gesthalt

vicinanza,

somiglianza,

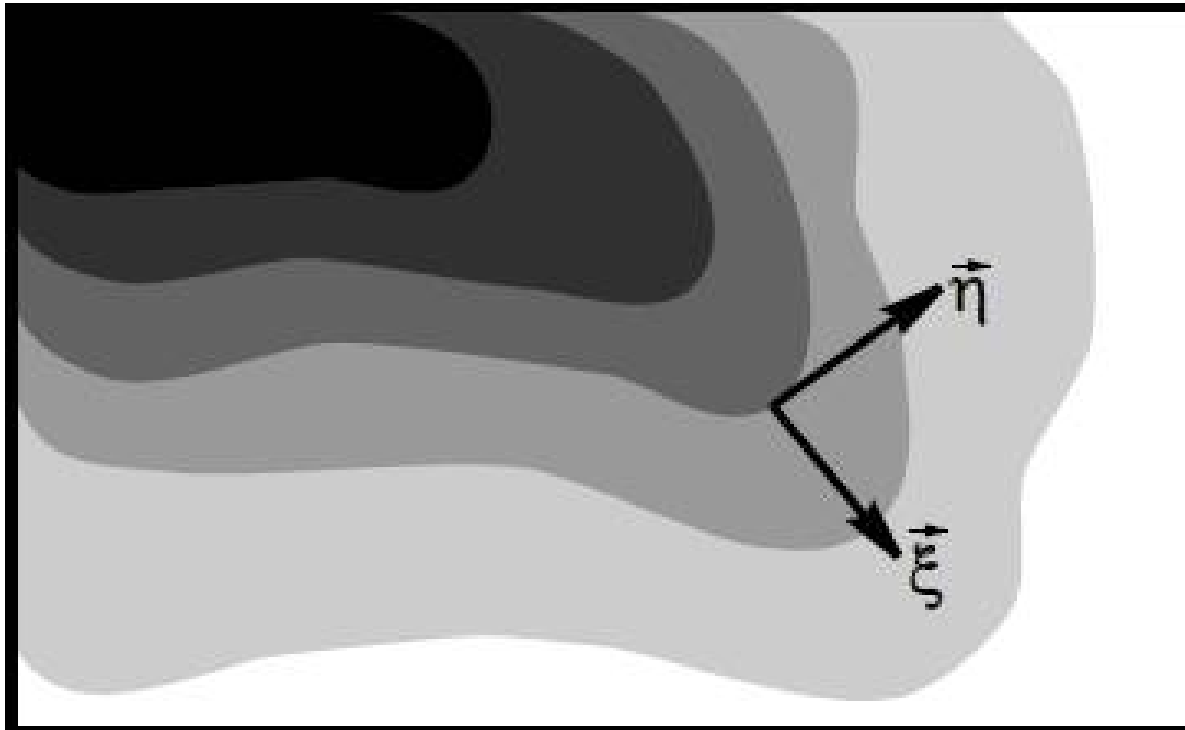
continuità di direzione – continuazione di bordi

chiusura,

convessità,

Completamento amodale – terminazione di bordi

Geometric diffusion



C'è l'esigenza di mantenere i bordi e i level set dell'immagine, che hanno un forte significato secondo la teoria della Gestalt

Modelli variazionali

Modelli che dipendono dal gradiente definiti

- da un funzionale, di cui ci interessano i minimi o punti critici
- da un'equazione differenziale che potrebbe essere la steepest descent del funzionale

Mumford Shah

$$MS(u, \gamma) = \int_{\Omega - \gamma} (u - g)^2 + \int_{\Omega - \gamma} |\nabla u|^2 + length(\gamma)$$

Il funzionale somma di tre termini:

- il primo termine forza l'immagine ad essere vicinal al dato iniziale
- il secondo termine regolarizza l'immagine, lontano da eventuali singolarit di tipo salto
- il terzo termine minimizza la lunghezza dei bordi

Ambrosio Tortorelli approximation

$$\mathcal{AT}_\epsilon(u, v) = \int_{\Omega} (u - g)^2 dx + \lambda \int_{\Omega} v^2 |\nabla u|^2 dx + \alpha \mathcal{M}_\epsilon(v),$$

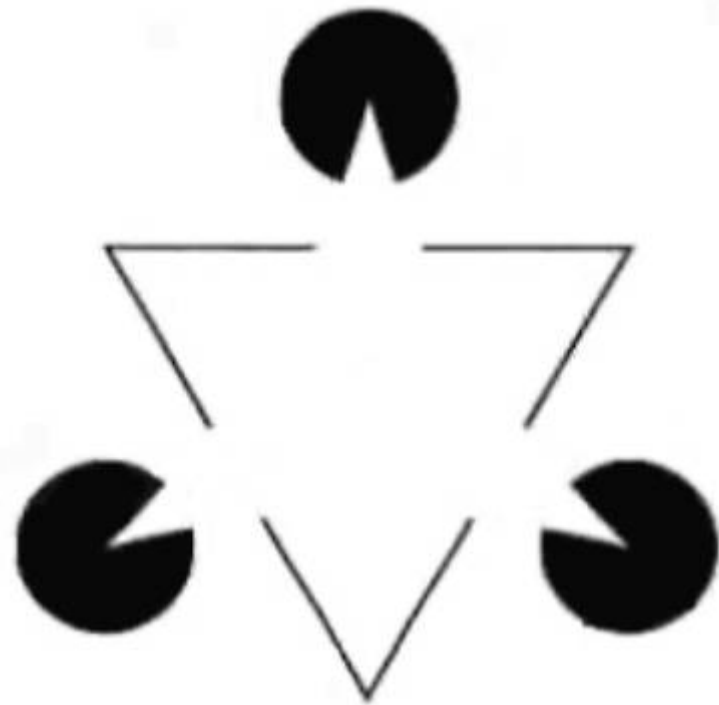
$$\mathcal{M}_\epsilon(v) = \int_{\Omega} \left(\epsilon |\nabla v|^2 + \frac{(1 - v)^2}{\epsilon} \right) dx.$$

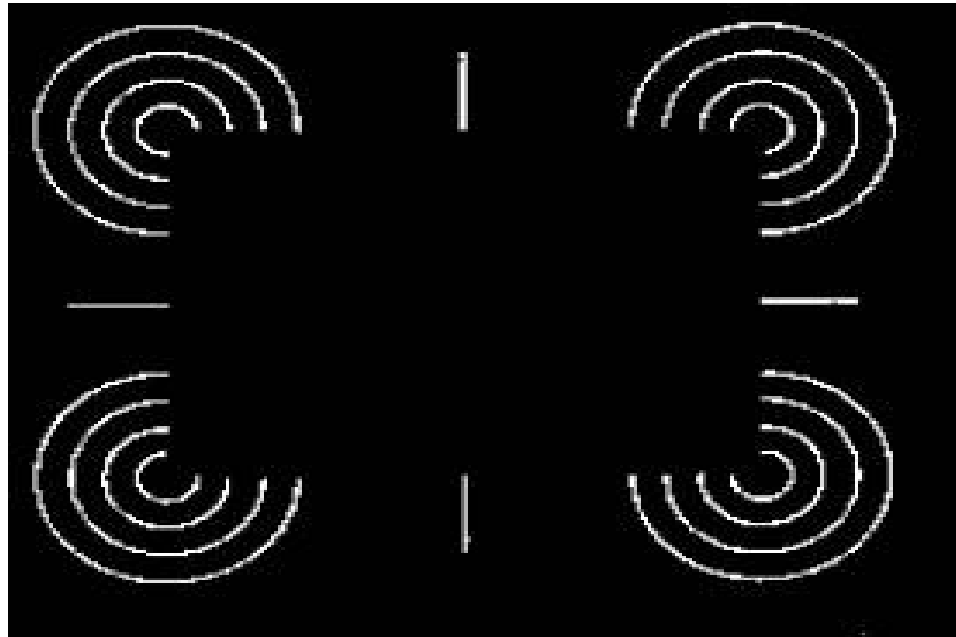
Curved boundary completion

The Mumford Shah functional produces piecewise constant minima, with linear interfaces

Mumford introduce an elastica term:

$$\int_{\gamma} (1 + \phi(k^2)) ds.$$





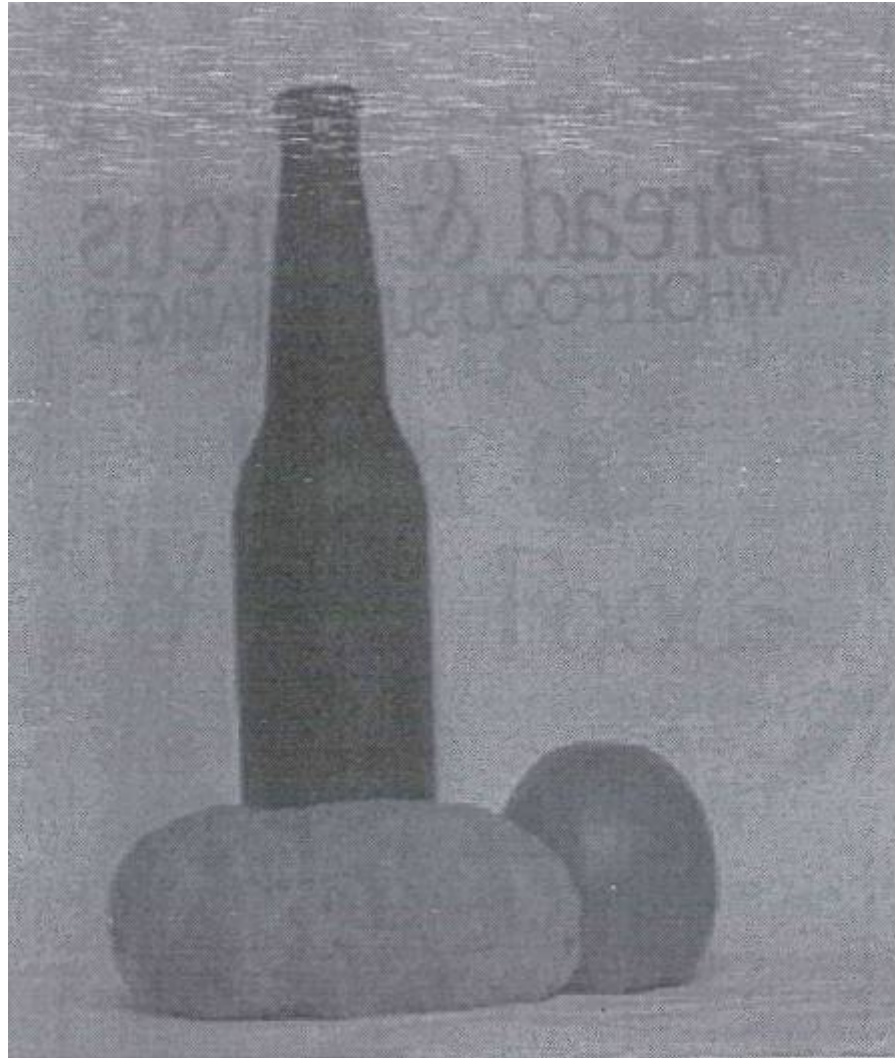
Se \mathcal{F} è lineare all'infinito permette la ricostruzione
Di contorni con spigoli

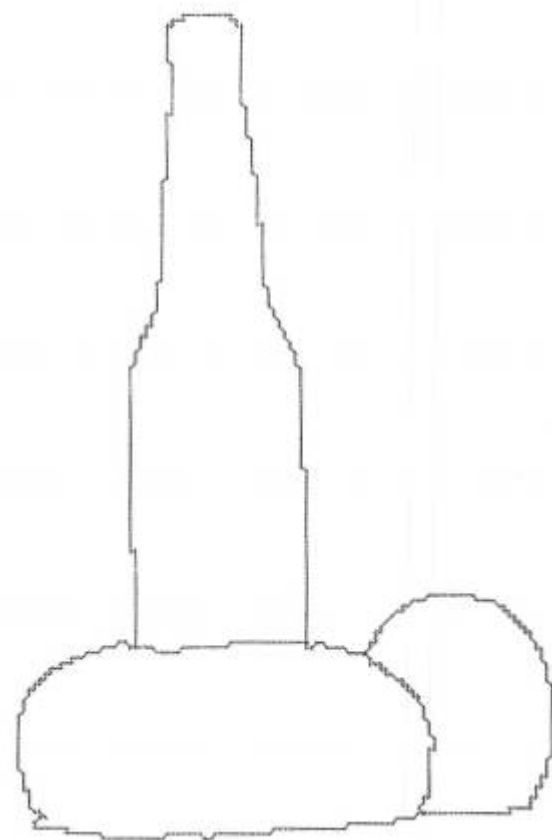
Mumford Nitzberg Shiota Segmentation with depth

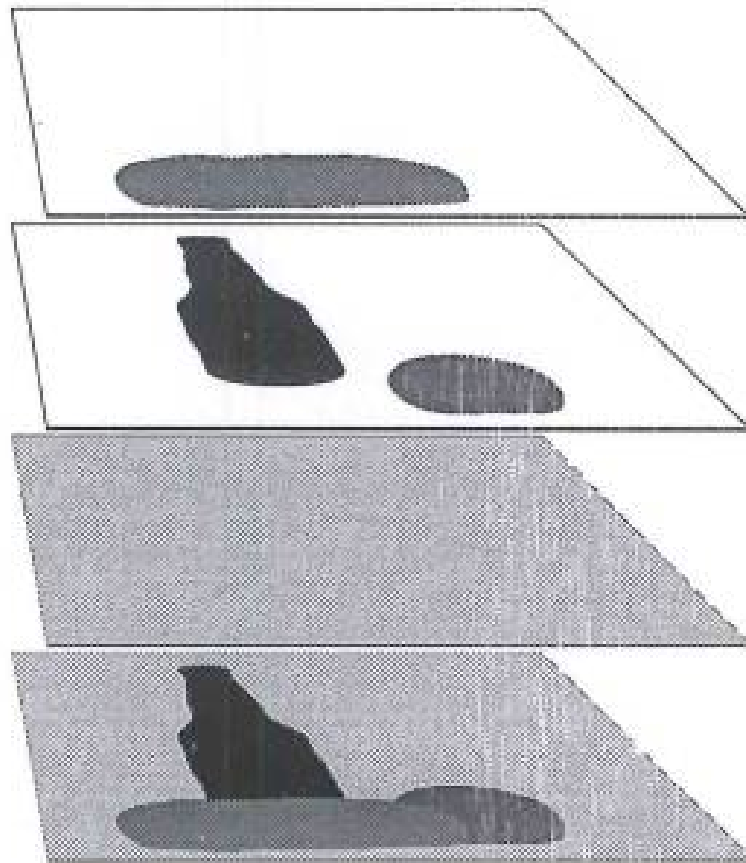
$$\mathcal{MS}^l(u, B) = \int_{\Omega \setminus B} (u - g)^2 dx + \lambda \int_{\Omega \setminus B} |\nabla u|^2 dx + \int_B (\alpha + \beta k^2) ds,$$

Questo operatore permette il completamento a-modale

Vastissima letteratura per lo studio di questi problemi







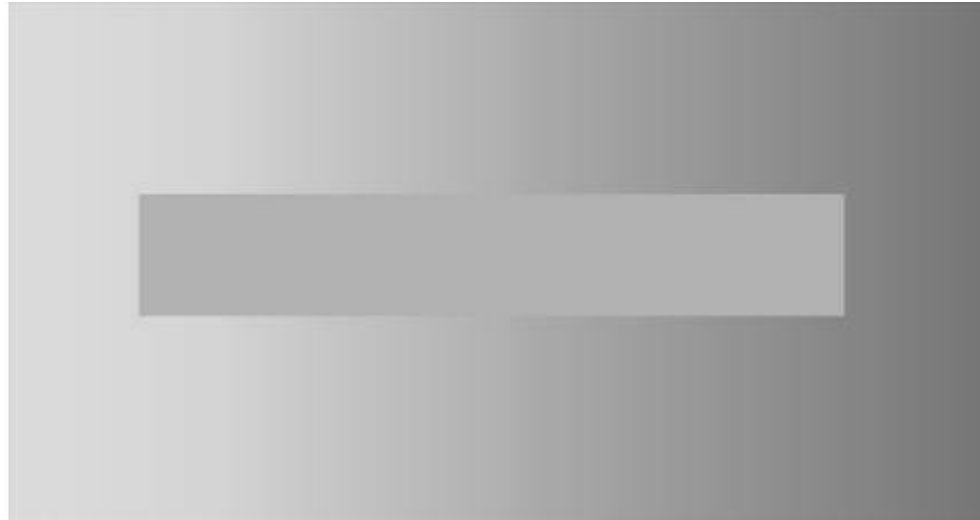
Second order functionals

$$\int_{\gamma} (1 + \phi(k^2)) ds.$$

$$\int_{\Omega} |\nabla u| \left(1 + \left| \operatorname{div} \left(\frac{\nabla u}{|\nabla u|} \right) \right| \right)$$

Curvature operator of each level set: Masnou Morel

contrasto



Retinex

$$I = LR \quad h = \log(I) = \log(L) + \log(R) = \phi + r$$

$$J(\phi) = \int_{\Omega} |\nabla(\phi - h)|^2 + \alpha |\nabla\phi|^2$$

$$\phi \geq h \quad \partial_{\nu}\phi = 0 \quad \text{on } \partial\Omega$$

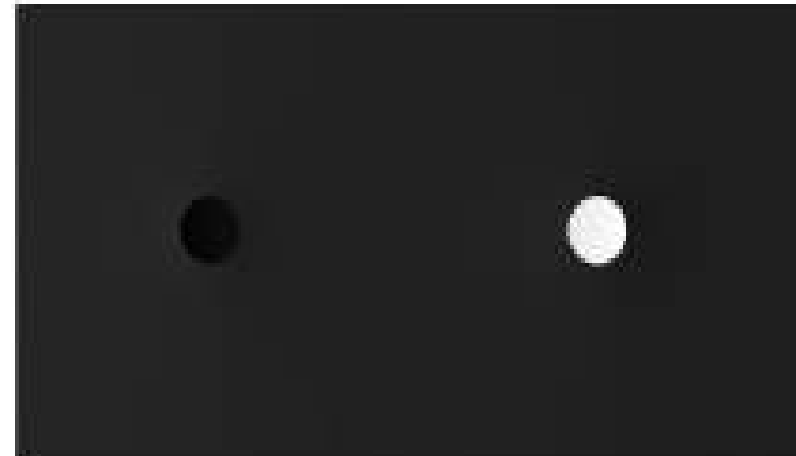
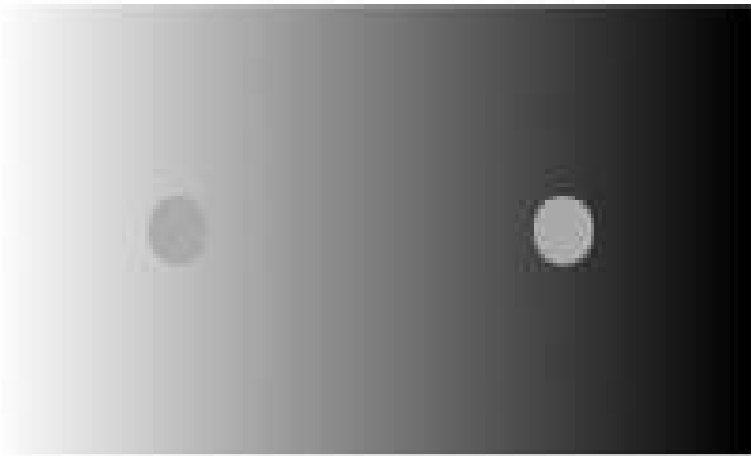
Land, McCann: '71, Horn '74

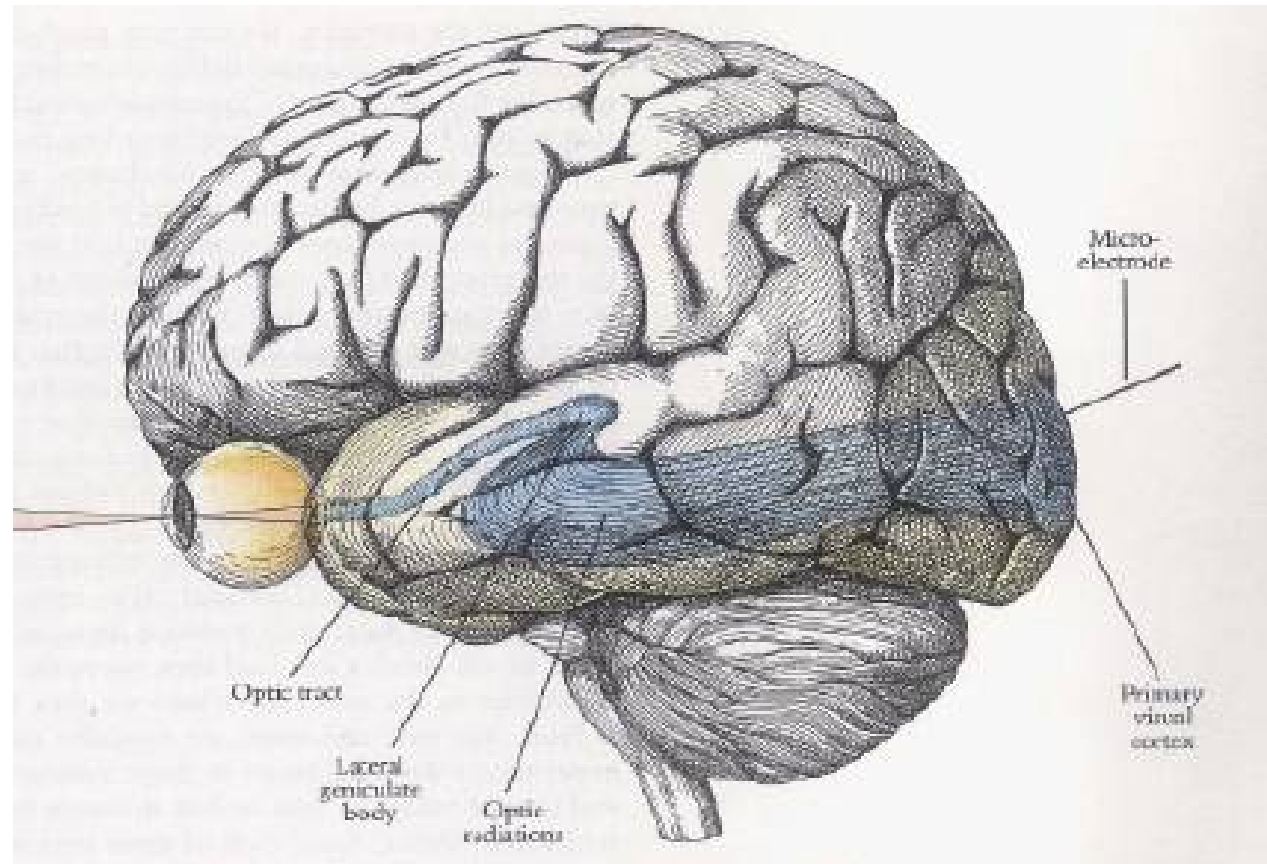
R. Kimmel, M. Elad, D. Shaked, R. Keshet, I. Sobel 2003



Variational models: Morel, Pedro, Sbert 2010

$$J(\phi) = \int_{\Omega} |\nabla(\phi - h)|^2. \quad \Delta\phi = \Delta h$$





[Hubel Wiesel] [W.C. Hoffmann '89]
[Petitot and Tondut '99], [Petitot '03]
[S. Zucker ' 05]

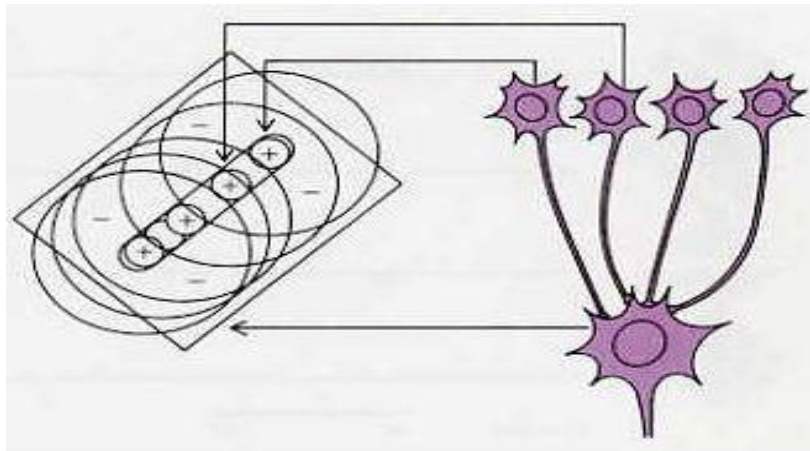
[C.- Sarti] [Sarti, C- Petitot '08]

[Hladky and Pauls '08].

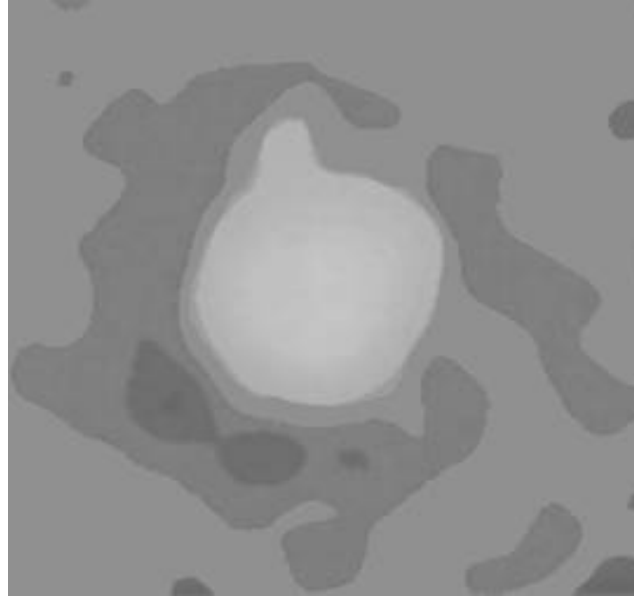
[Duits, van Almsick, Franken, ter Haar Romeny '05, '08]

Campo recettore

- L'insieme dei recettori retinici che portano informazioni ad una specifica cellula della corteccia visiva

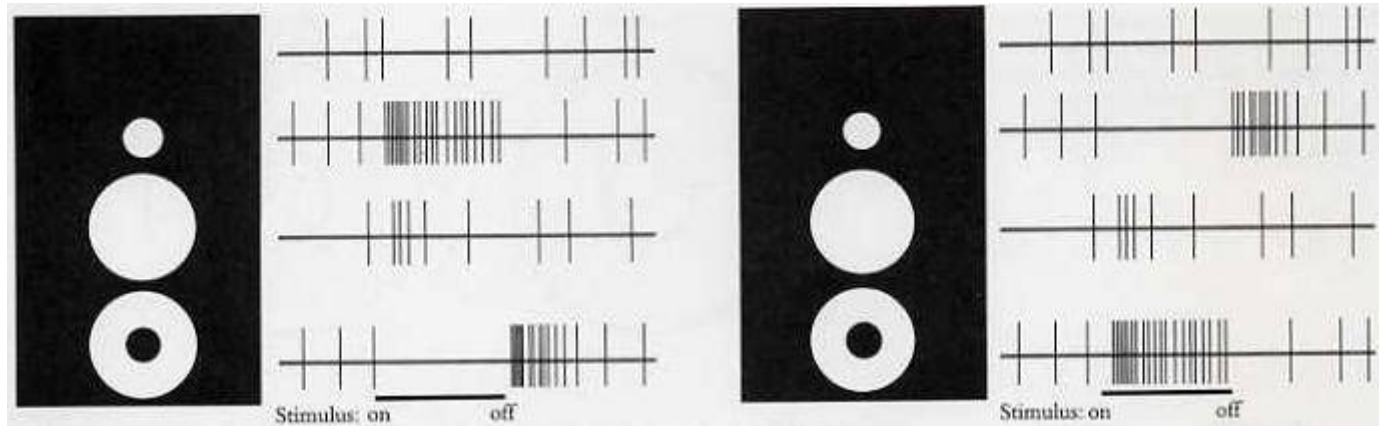


Profilo recettore



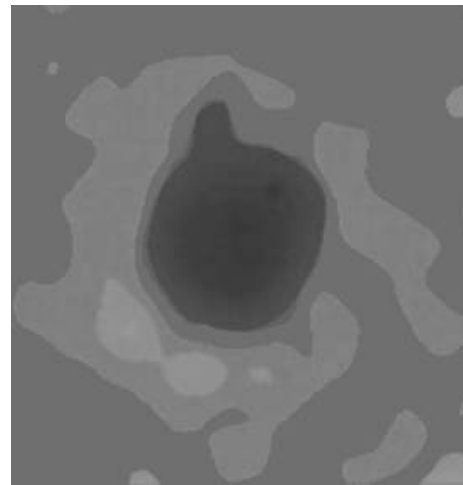
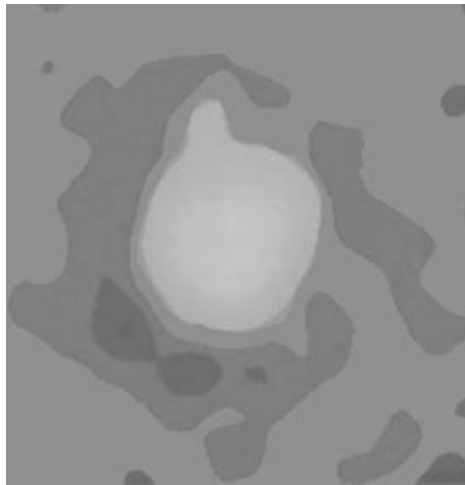
Funzione definita sul campo recettore e che descrive l'intensità della risposta ad uno stimolo visivo

Retinal and Lgn cells

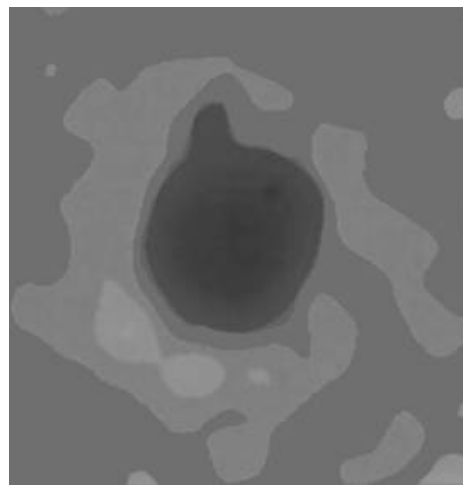
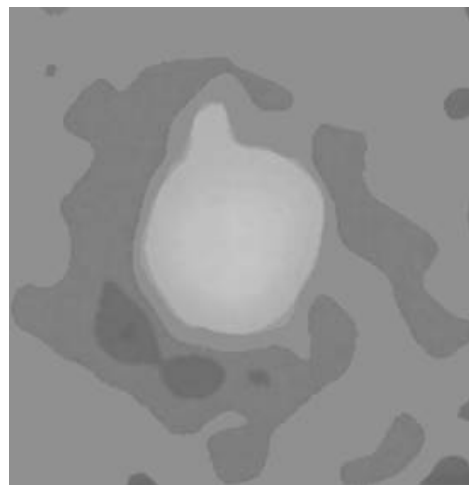


Four recordings from a typical on-center cell.
In the resting state at the top, there is no stimulus
responses to a small (optimum size) spot,
a large spot covering the receptive-field center and surround
a ring covering the surround only.

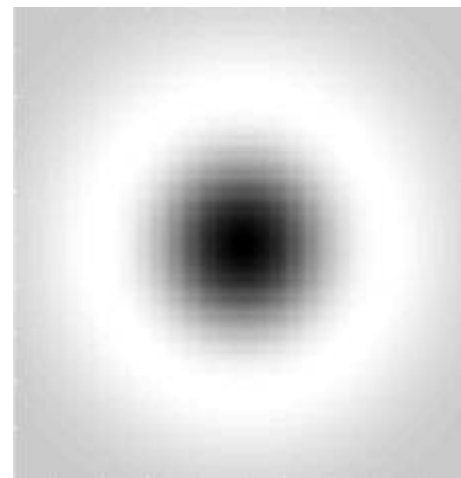
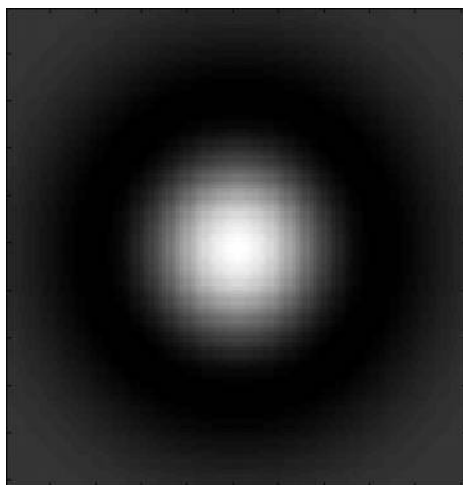
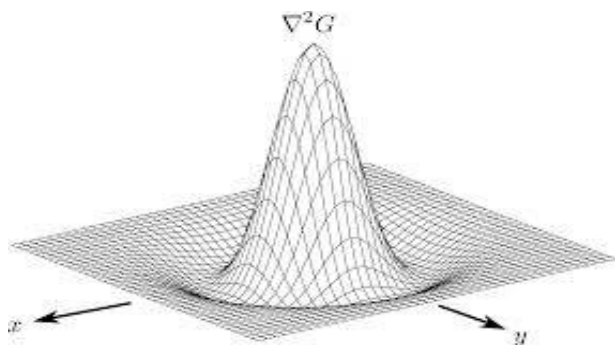
Determinare una funzione
che descriva il profilo



LGN cells



Il profilo recettore è modellato attraverso un Laplaciano di gaussiana:



Azione delle cellule

- In presenza di un'immagine I

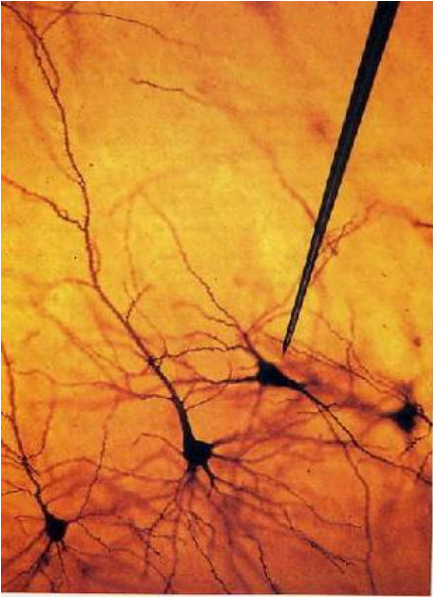
$$O = \int \Delta G(x, y) \log I(x, y) dx dy$$

La stessa struttura è ripetuta in ogni punto

$$O(x_0, y_0) = \int \Delta G(x_0 - x, y_0 - y) \log I(x, y) dx dy =$$
$$\Delta G * \log I(x_0, y_0) = \Delta h_G(x_0, y_0)$$

diffusion in LGN

- The visual signal propagates along the axon of the cells: Due to the isotropy of the structure we can model the connectivity kernel as fundamental solution of an isotropic Laplacian

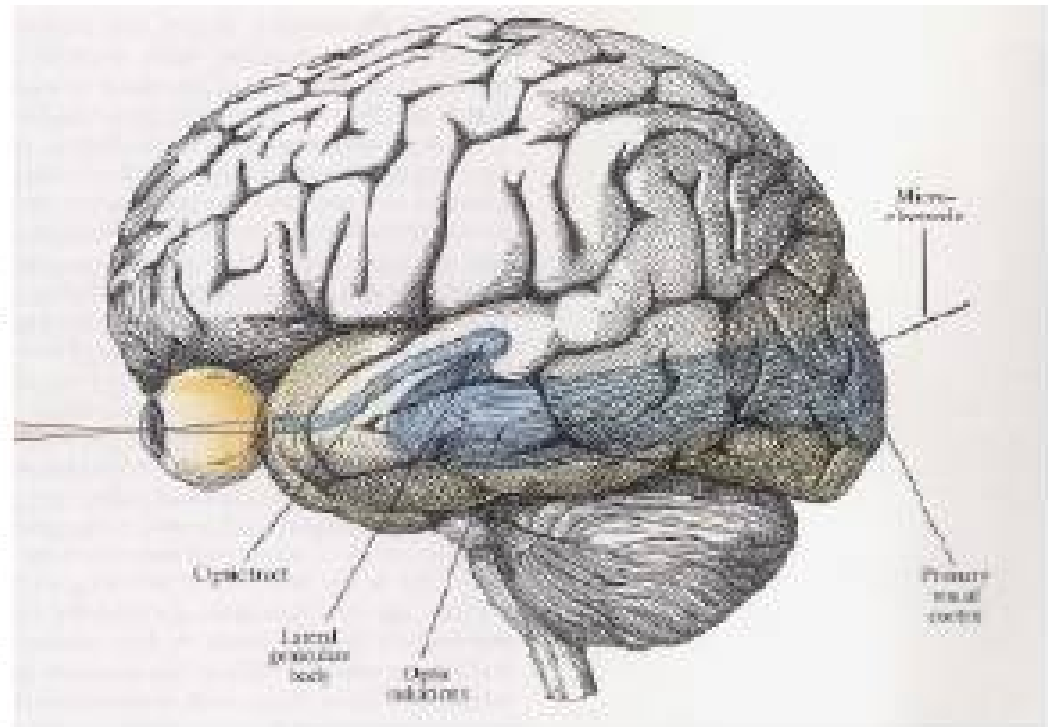
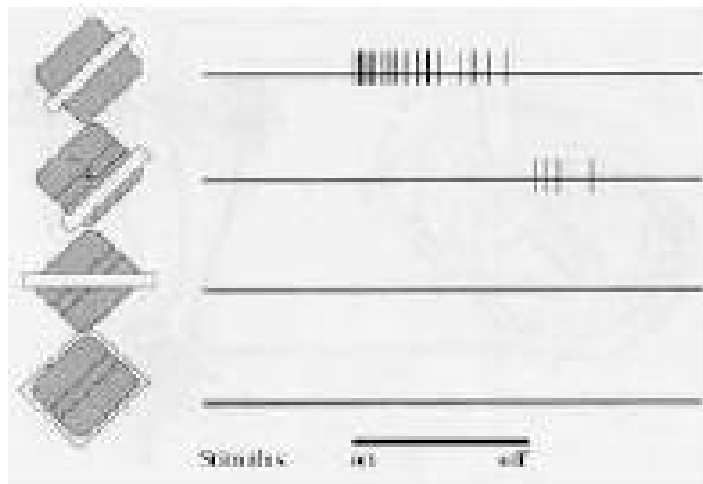


$$\Gamma(x, y) = -\log \sqrt{x^2 + y^2}.$$

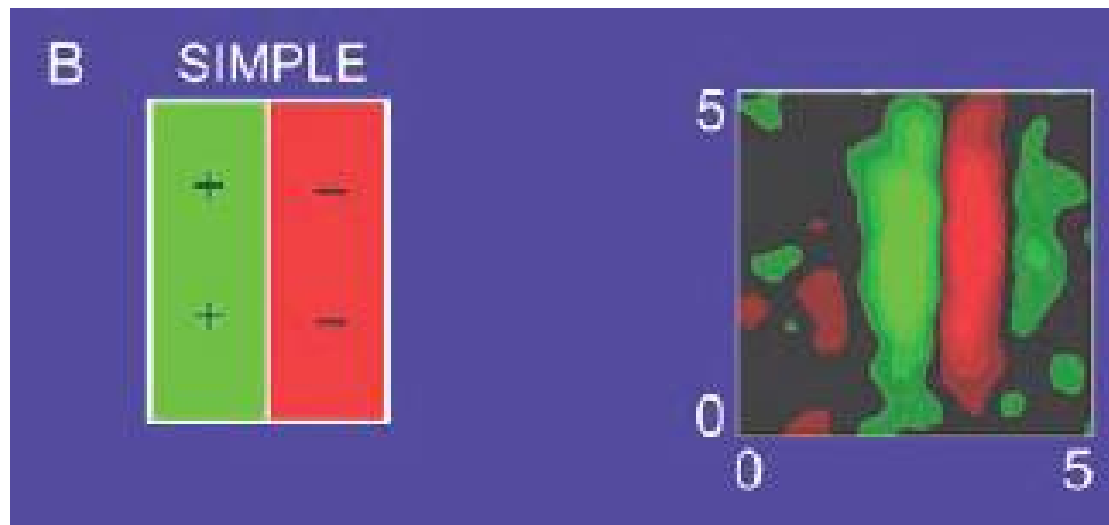
$$\phi = \Gamma * \Delta h_G$$

$$\Delta \phi = \Delta h_G$$

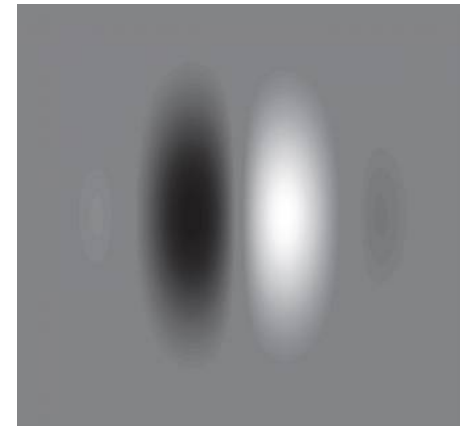
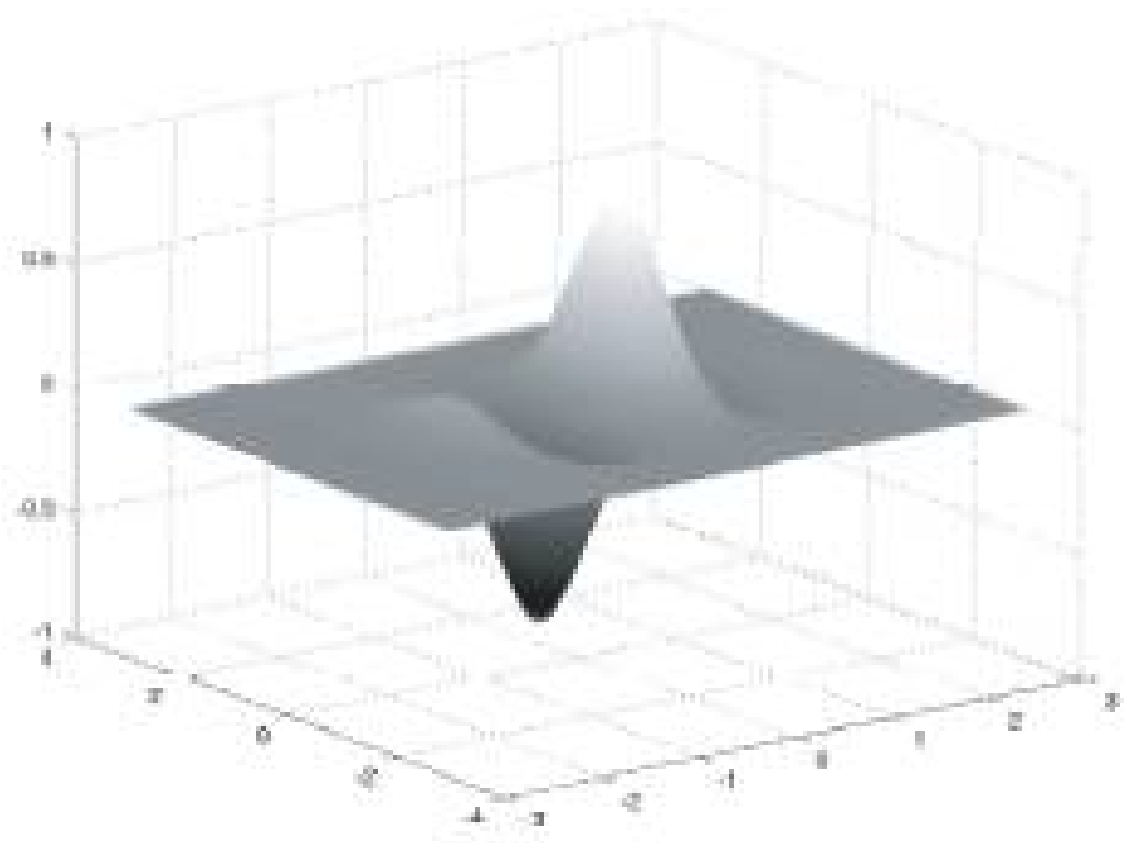
The diffusion in LGN produces a contrast invariant perception



Receptive profile of a simple cell



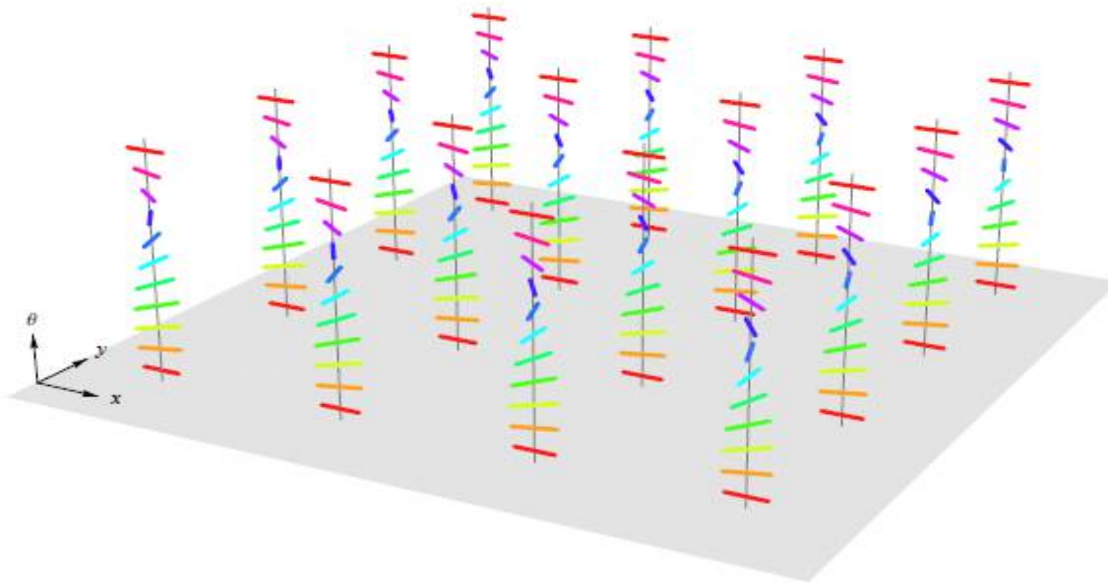
Receptive profile of a simple cell



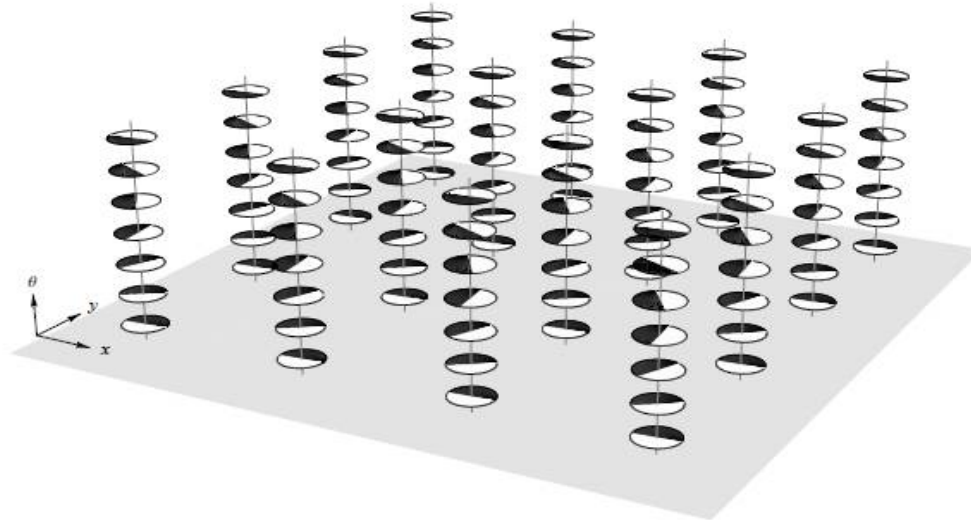
Simple cells can be modelled as derivative of a Gaussian

The cortical structure

- Retinotopic structure
- Ipercolumnar structure



The simple cells as a Lie group



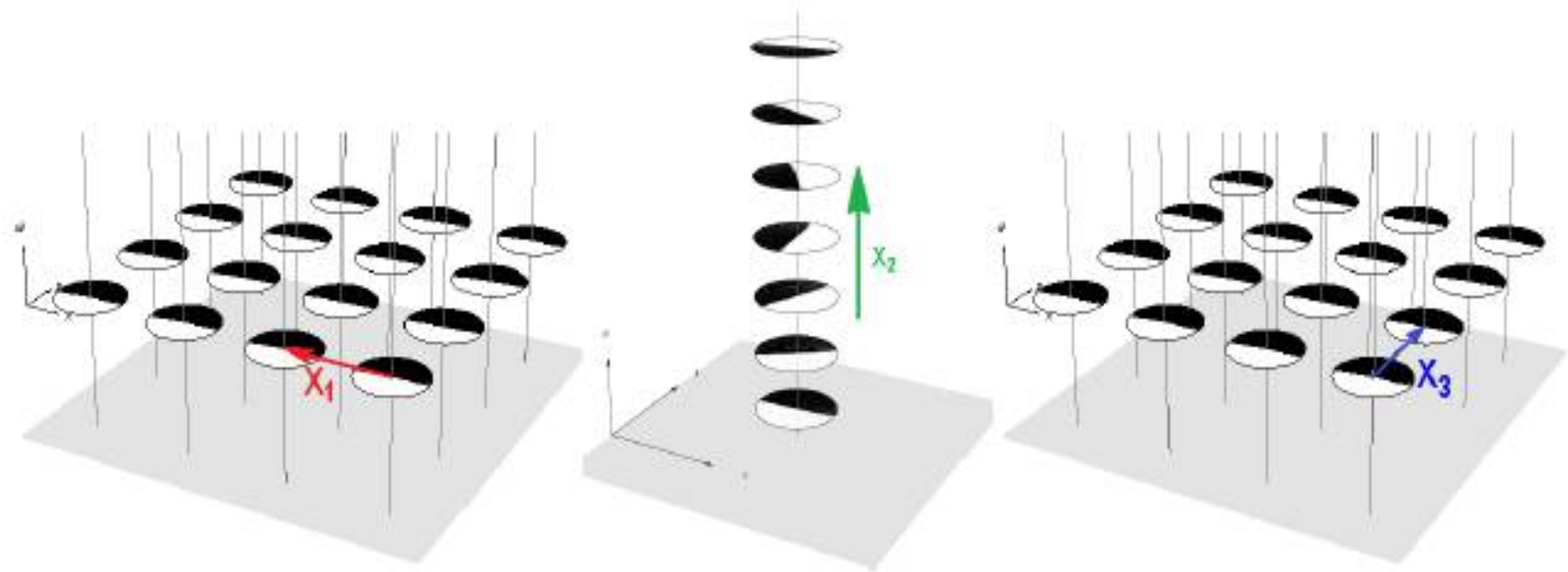
T_{x_1, y_1} the translation of the vector (x_1, y_1) :

R_θ a rotation matrix
$$R_\theta = \begin{pmatrix} \cos \theta & -\sin \theta \\ \sin \theta & \cos \theta \end{pmatrix} .$$

Legge di gruppo: composizione di traslazione e rotazione

The associated Lie algebra is generated by the vector fields

$$X_1 = \cos(\theta)\partial_1 + \sin(\theta)\partial_2, \quad X_2 = \partial_\theta, \quad X_3 = -\sin(\theta)\partial_1 + \cos(\theta)\partial_2$$



Campi invarianti a sinistra



$$\phi_0(x, y) = \partial_y \exp(-(x^2 + y^2))$$

$$\begin{aligned} \phi_\theta(x, y) &= \phi_0 \circ R_\theta(x, y) \\ &= X_3 \exp(-(x^2 + y^2)) \end{aligned}$$

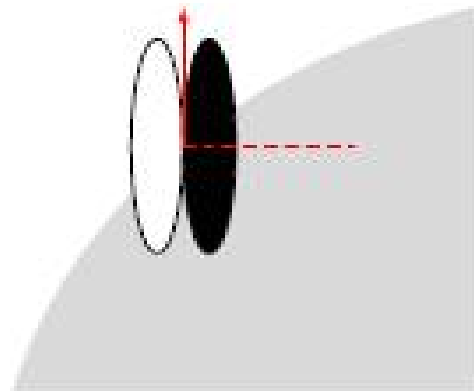
$$X_3 = -\sin \theta \partial_x + \cos \theta \partial_y.$$

General simple cell:

$$\phi_e(x - x_0, y - y_0)$$

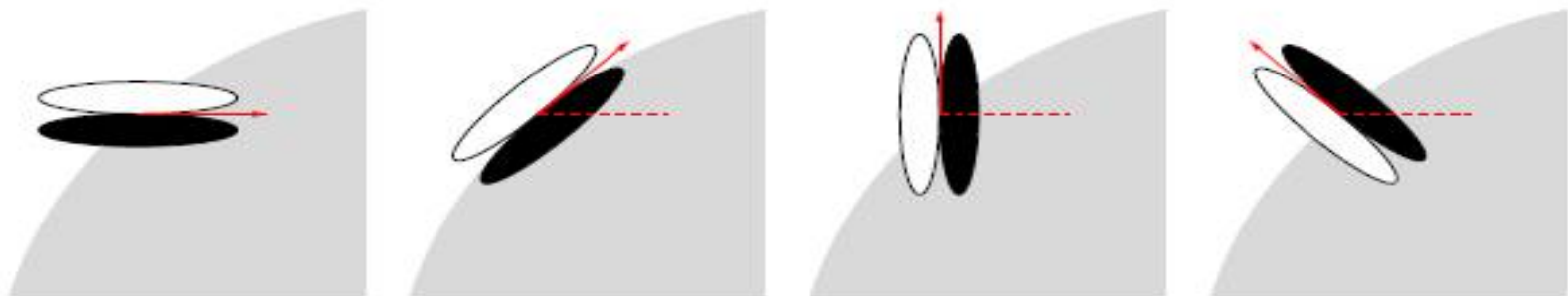
Output of a cell

$$O_e = \int I(x, y) \phi_e(x, y) dx dy$$



Azione delle cellule semplici

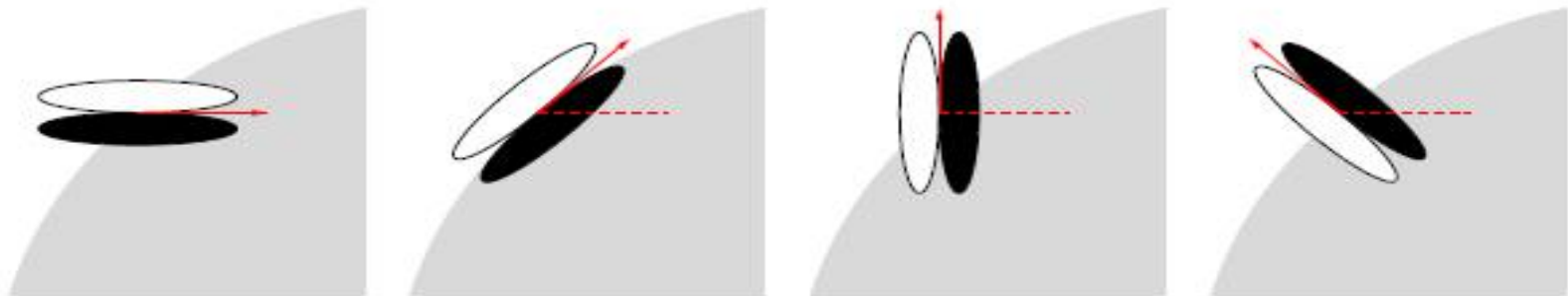
$$O(x, y, \theta) = \int \phi_{\theta}(x - x', y - y') I(x', y') dx' dy'$$



Derivazione direzionale

Suppressione dei non massimali

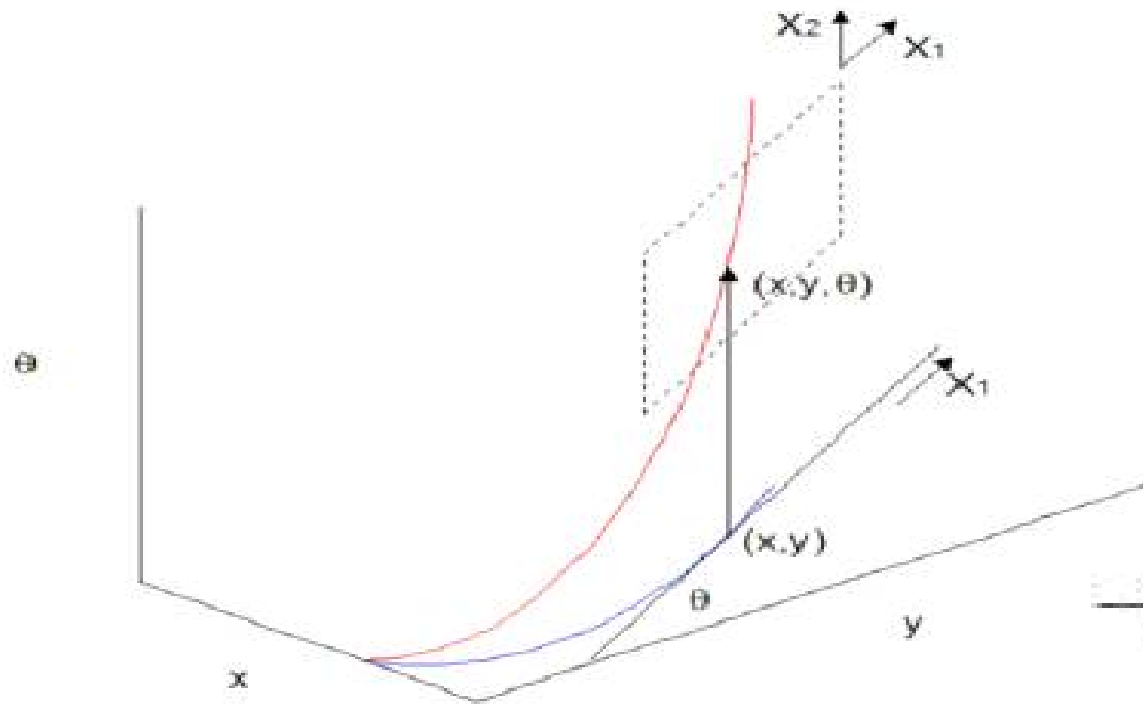
$$O(x, y, \theta^*) = \max_{\theta} O(x, y, \theta).$$



θ^*

Indica l'orientazione del bordo

Lifted curved



$$\gamma_{2D}(t) = (x(t), y(t)),$$

$$\rightarrow (x(t), y(t), \theta(t)).$$

$$X_2 = \partial_\theta$$

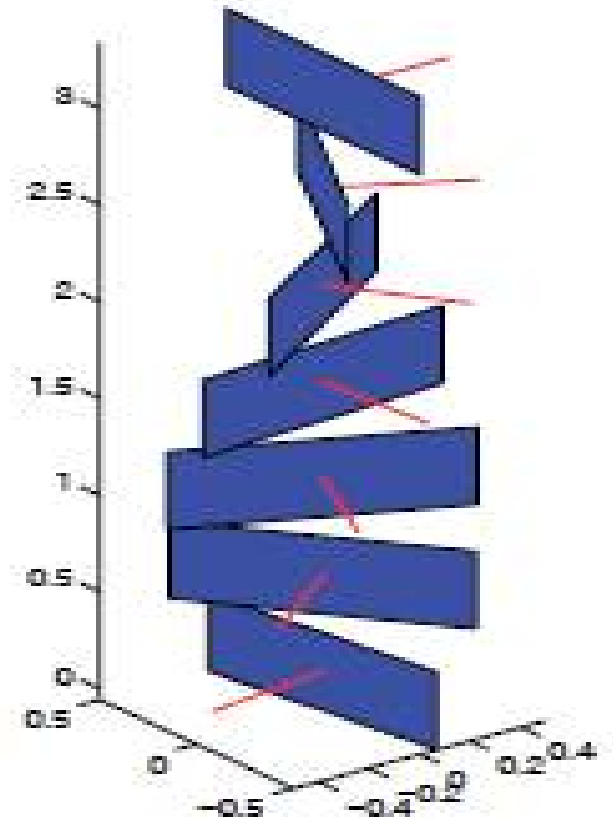
$$X_1 = \cos \theta \partial_x + \sin \theta \partial_y$$

Horizontal tangent plane

- We have selected two vector fields at every point such that

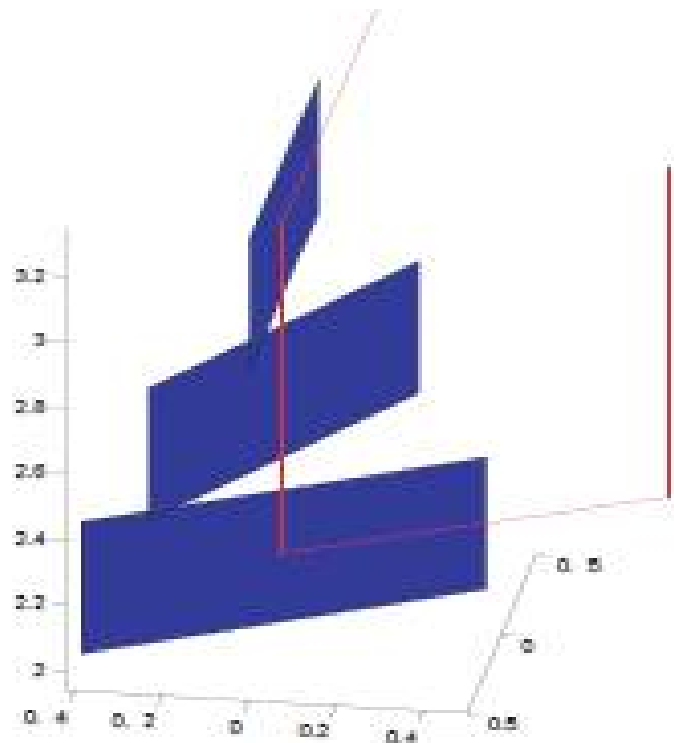
$$X_2 = \partial_\theta$$

$$X_1 = \cos \theta \partial_x + \sin \theta \partial_y$$



Campi di Hormander e connettività

$$X_3 = [X_1, X_2] = -\sin(\theta)\partial_x + \cos(\theta)\partial_y.$$



Norm on the horizontal plane

$$\|\alpha_1 X_1 + \alpha_2 X_2\|_g = \sqrt{\alpha_1^2 + \alpha_2^2}$$

Riemannian approximating norm

Control distance

$$\lambda(\gamma) = \int_0^1 |\gamma'(t)| dt.$$

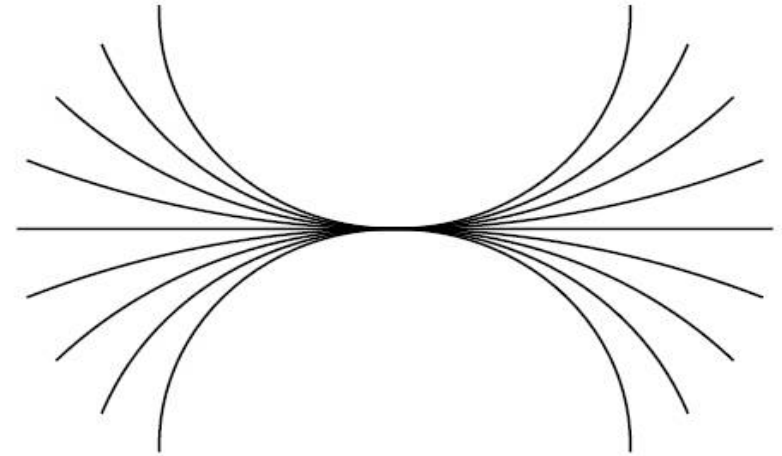
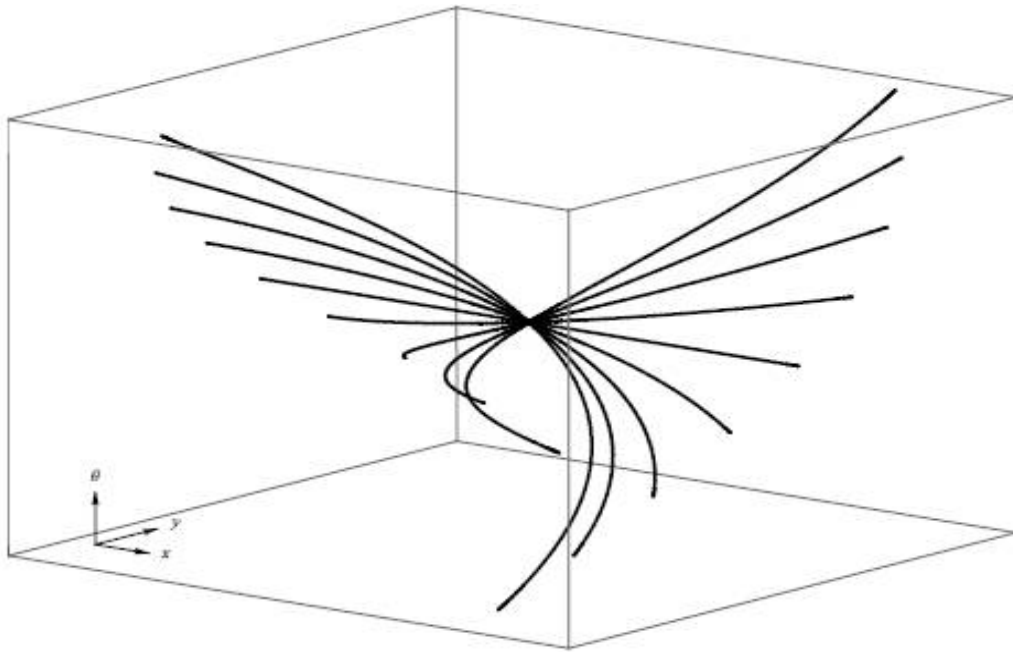
$$d(\xi, \xi_0) = \inf \{ \lambda(\gamma) :$$

γ is a horizontal curve connecting ξ and ξ_0 }.

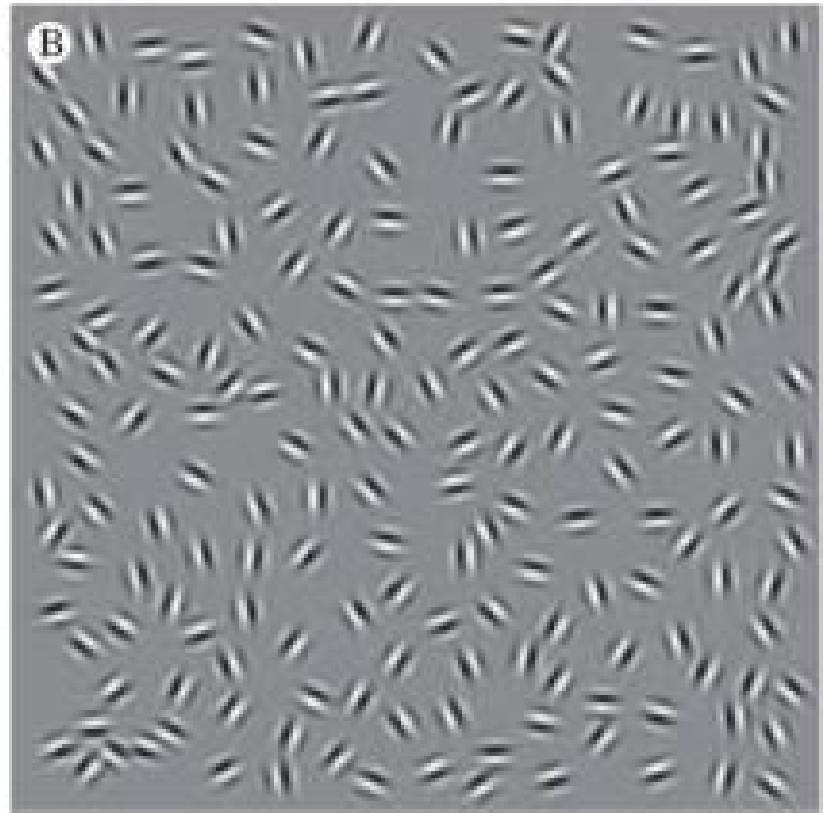
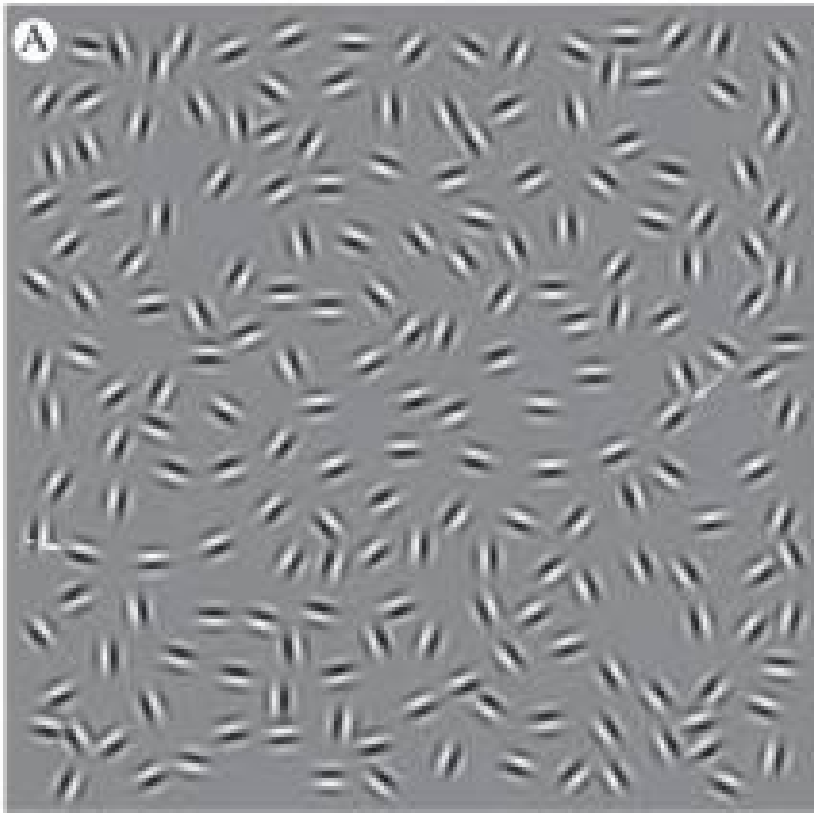
Attenzione l'insieme delle curve ammissibili non è quello euclideo

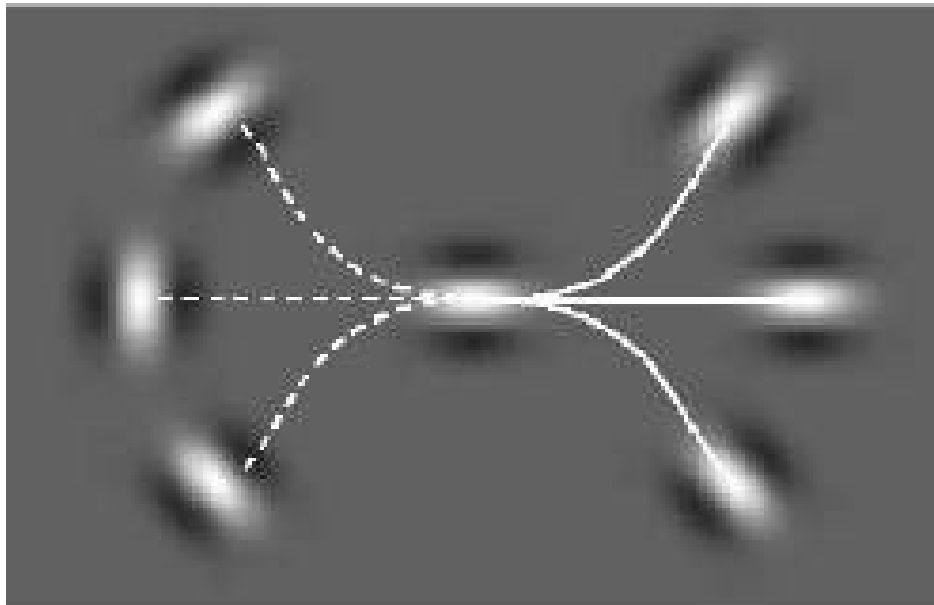
Norma omogenea e gauge

Integral curves of the vector fields

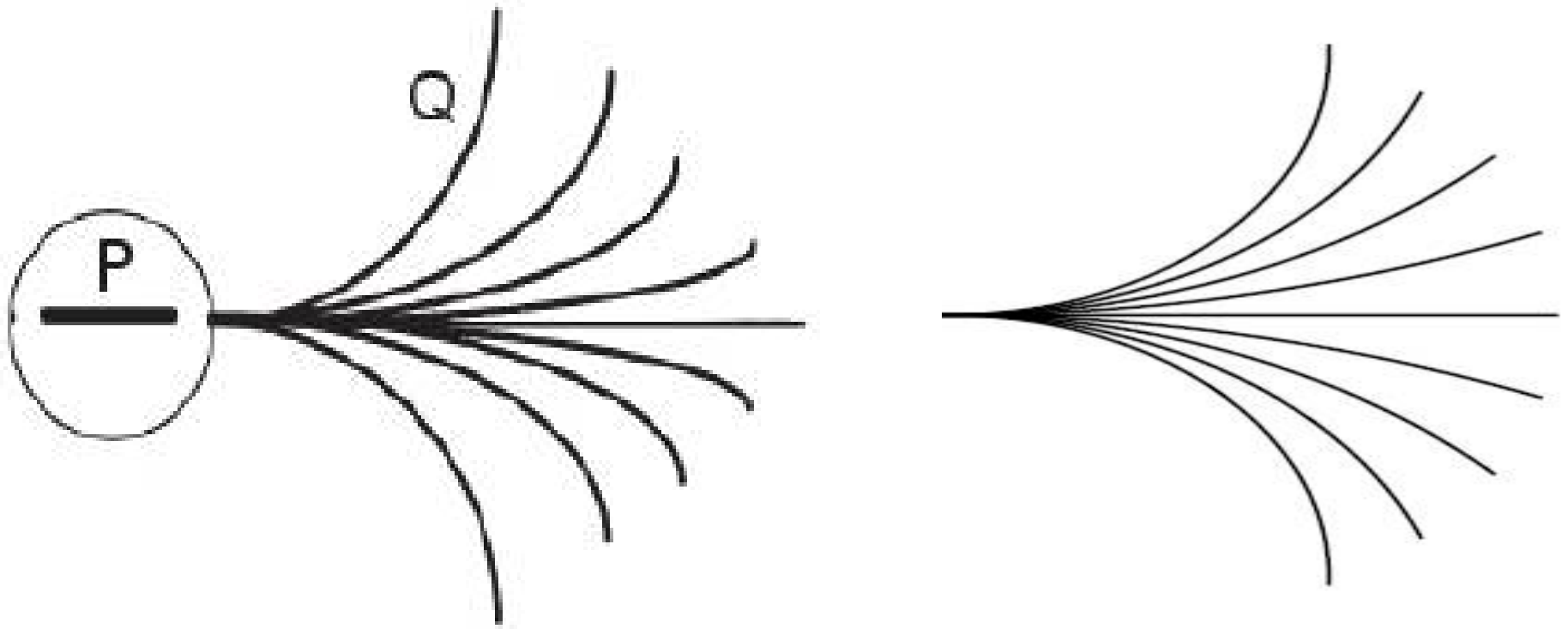


Esperimento di Field, Hayes, Hess



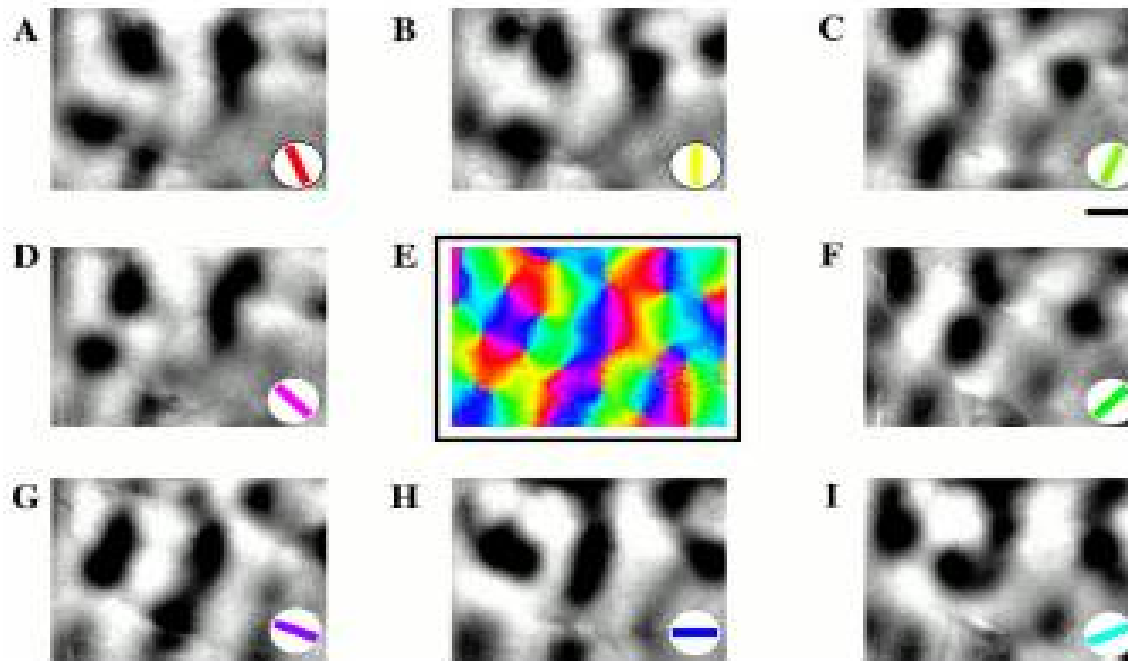


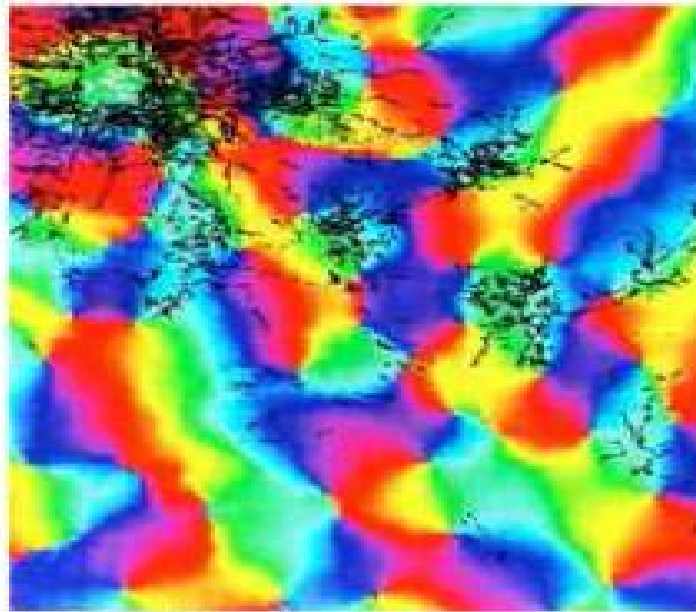
Campi di associazione



La distribuzione spaziale dei profili

$$\mathcal{P}(x,y) = \frac{1}{2} \arg \int_0^\pi e^{i2\theta} u_\theta(x,y) d\theta. \quad (4.23)$$

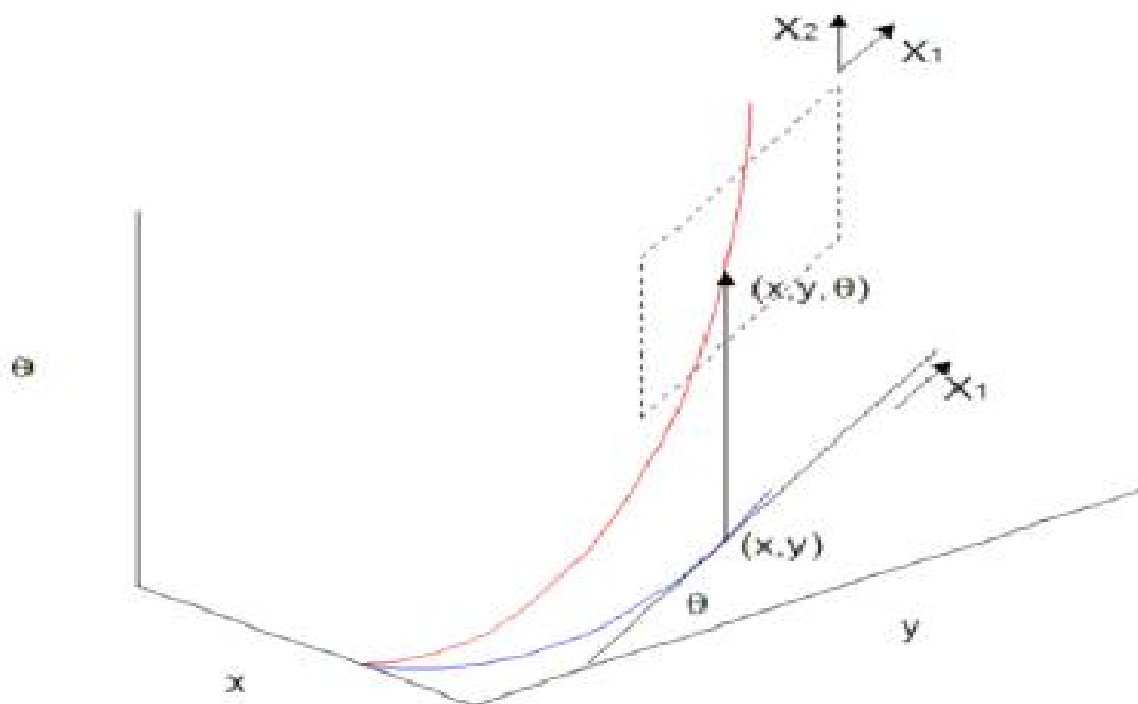




500 μm

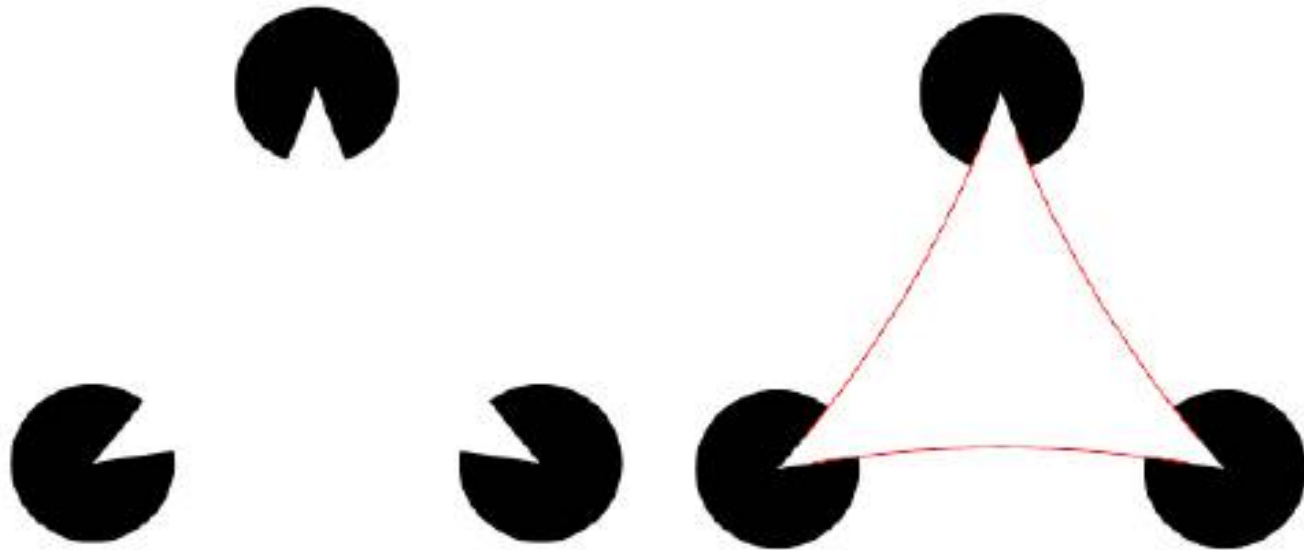


Geodesics and elastica

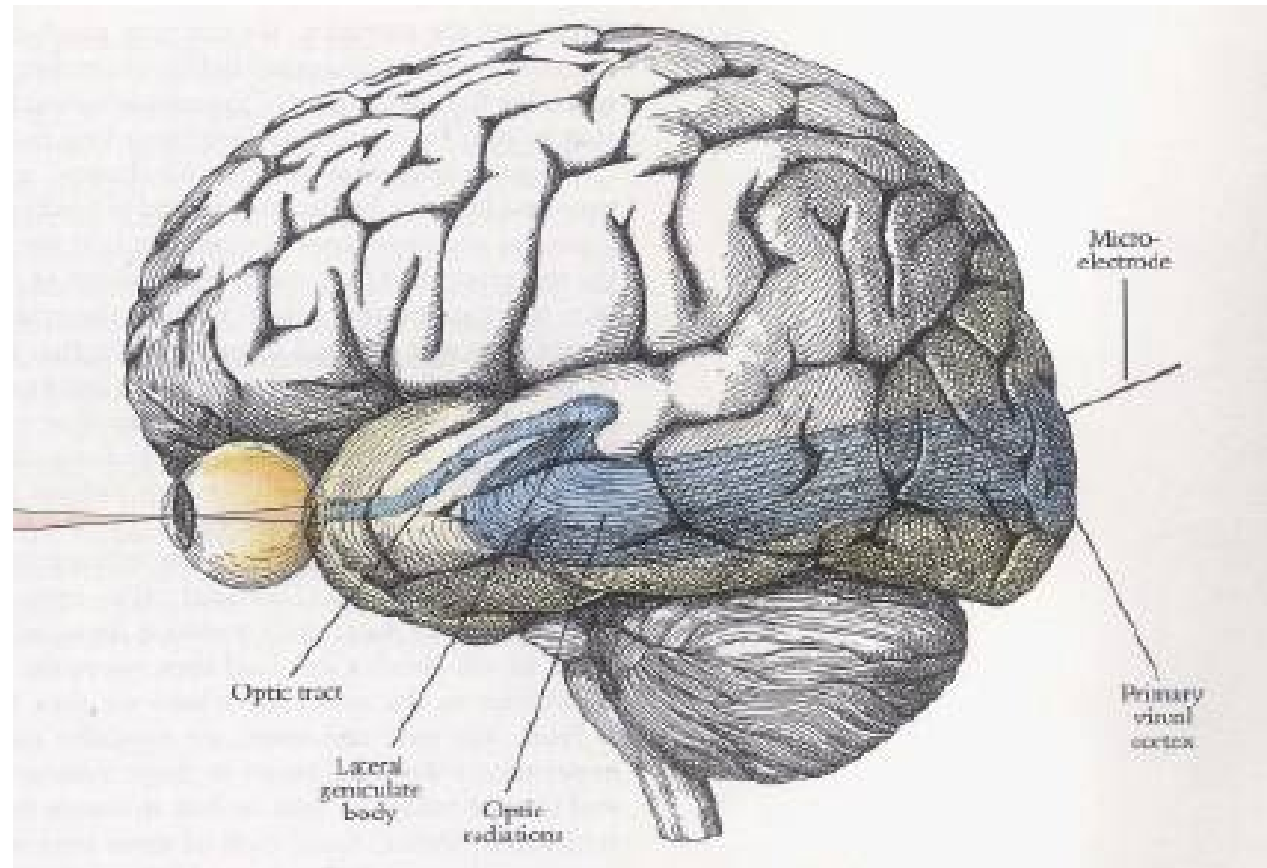


Il completamento è quello operato dal modello di Mumford

Completion of boundaries



La struttura della corteccia è modulare



Cellule selezionano: movimento, curvatura, colore